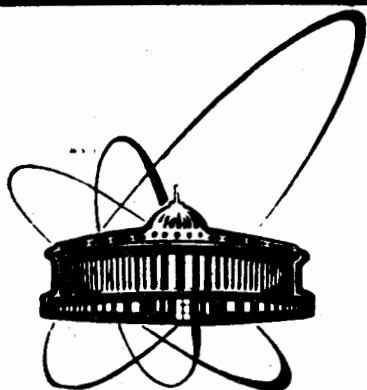


89-520



ОБЪЕДИНЕННЫЙ
ИНСТИТУТ
ЯДЕРНЫХ
ИССЛЕДОВАНИЙ
ДУБНА

Л 934

P2-89-520

В. Л. Любошиц

О КУЛОНОВСКОМ РАСЩЕПЛЕНИИ
РЕЛЯТИВИСТСКИХ ЯДЕР
И ГИПЕРЯДЕР

Направлено в журнал "Ядерная физика"

1989

1. Процесс возбуждения и расщепления ядер в кулоновском поле исследовался теоретически многими авторами (см., например, ^{1-7/}). В последние годы интерес к этому электромагнитному процессу возрос в связи с созданием пучков релятивистских ядер, а также в связи с проблемой идентификации релятивистских гиперядер ^{8/}.

В настоящей работе получена аналитическая формула для эффективного сечения кулоновской диссоциации слабосвязанных релятивистских ядер, выходящая за рамки стандартного логарифмического приближения Вайцзеккера — Вильямса ^{9/}. При этом используется прямая аналогия с задачей об ионизации атомов при прохождении релятивистских заряженных частиц через вещество. При таком подходе можно воспользоваться известными результатами квантово-механической теории ионизационных потерь быстрых частиц ^{10/} и выразить сечение кулоновского расщепления через феноменологические параметры ядра. Полученные результаты применяются конкретно к ядру ${}^3_{\Lambda}\text{H}$ — "рыхлой" системе с очень малой энергией связи и большими размерами.

2. Следуя ^{10/}, представим выражение для суммарного эффективного сечения кулоновского возбуждения и кулоновской диссоциации быстрого ядра в релятивистски-инвариантном виде (всюду используется система единиц, в которой $\hbar = c = 1$):

$$\sigma = \frac{4\pi(Z\alpha)^2}{(u_k u)^2 - 1} \sum_{n \neq 0} \int \frac{|\langle n | j | 0 \rangle u_k|^2}{(|q^2|)^2} d(|q^2|). \quad (1)$$

Здесь Z — заряд кулоновского центра (ядра-мишени), $\alpha = 1/137$ — постоянная тонкой структуры, q — 4-импульс виртуального фотона, переданный ядру, $\langle n | j | 0 \rangle$ — 4-вектор тока перехода из основного состояния налетающего ядра $|0\rangle$ в возбужденное состояние дискретного или непрерывного спектра $|n\rangle$, u_k и u — 4-скорости кулоновского центра и налетающего ядра соответственно, черта означает суммирование по спиновым квантовым числам и угловым переменным конечных состояний и усреднение по поляризации начального ядра (которое считается неполяризованным)*.

*В силу симметрии величина $|\langle n | j | 0 \rangle u_k|^2$ не зависит от направления \vec{q} и является функцией q^2 .

В системе покоя налетающего ядра (а. л. с.) имеем

$$q^2 = \mathcal{E}_{no}^2 - \vec{q}^2, \quad (u u_k)^2 - 1 = \gamma_k^2 v_k^2; \quad (2)$$

$$\langle n | j | 0 \rangle u_k = \gamma_k (\langle n | \rho | 0 \rangle - \langle n | j | 0 \rangle \vec{v}_k). \quad (3)$$

Здесь \mathcal{E}_{no} — энергия возбуждения ядра, \vec{v}_k — скорость кулоновского центра, $\gamma_k = (1 - v_k^2)^{-1/2}$ — лоренц-фактор; при этом ^{/10/}

$$\langle n | \rho | 0 \rangle = \langle n | \sum_p e^{-i\vec{q}\vec{r}_p} | 0 \rangle, \quad (4)$$

$$\langle n | j | 0 \rangle = -\frac{i}{2m_p} \langle n | \sum_p (\vec{V}_p e^{-i\vec{q}\vec{r}_p} + e^{-i\vec{q}\vec{r}_p} \vec{V}_p) | 0 \rangle, \quad (5)$$

где суммирование проводится по всем протонам ядра, m_p — масса протона.

Из условия непрерывности электромагнитного тока

$$\langle n | j | 0 \rangle q = \langle n | \rho | 0 \rangle \mathcal{E}_{no} - \langle n | j | 0 \rangle \vec{q} = 0 \quad (6)$$

следует соотношение

$$\langle n | \rho | 0 \rangle = \frac{\langle n | j | 0 \rangle \vec{q}}{\mathcal{E}_{no}}. \quad (7)$$

Аналогичное условие для тока заряженного кулоновского центра дает

$$q u_k = \gamma_k (\mathcal{E}_{no} - \vec{q} \vec{v}_k) = 0, \quad \mathcal{E}_{no} = \vec{q} \vec{v}_k. \quad (8)$$

Учтем далее, что $\vec{v}_k = -\vec{v}$, $\gamma_k = \gamma$, где \vec{v} и γ — скорость и лоренц-фактор ядра в л.с. Легко видеть, что

$$\vec{q} = \vec{q}_\perp - \frac{v \mathcal{E}_{no}}{v^2}, \quad (-q^2) = q_\perp^2 + \frac{\mathcal{E}_{no}^2}{v^2 \gamma^2}. \quad (9)$$

Подставляя в формулу (1) выражения (2)-(3) и используя (7) и (8), находим

$$\sigma = \frac{4\pi(Z\alpha)^2}{v^2} \cdot \sum_{n \neq 0} \int \frac{|\langle n | \vec{j} | 0 \rangle|^2 \left| \left(\frac{\vec{q}}{\mathcal{E}_{no}} - \frac{\vec{v}}{v^2} \frac{\mathcal{E}_{no}}{y^2} \right) \right|^2}{(q_{\perp}^2 + \frac{\mathcal{E}_{no}^2}{v^2 y^2})^2} d(q_{\perp}^2). \quad (10)$$

Заметим, что формулы (1) и (10), строго говоря, соответствуют однофотонному обмену, т.е. приближению $Z\alpha \ll 1$. Следует, однако, ожидать, что и при $Z\alpha \sim 1$ поправки к (1) или (10) относительно малы; это связано с тем, что основной вклад в σ дает область очень малых q^2 , а точное выражение для сечения кулоновского рассеяния на малые углы совпадает с результатом борновского приближения.

3. Выделим в формуле (10) область интегрирования по q_{\perp}^2 от нуля до некоторого постоянного значения \tilde{q}^2 , удовлетворяющего условию

$$\frac{\mathcal{E}_{св}}{v} \ll \tilde{q} \ll p_{N(\Lambda)} \sim \sqrt{2m_{N(\Lambda)} \mathcal{E}_{св}} \sim \frac{1}{R_{\text{я}}}. \quad (11)$$

Здесь $p_{N(\Lambda)}$ — характерный импульс нуклона (Λ -гиперона) в ядре, $\mathcal{E}_{св}$ — энергия связи, $m_{N(\Lambda)}$ — масса нуклона (Λ -гиперона), $R_{\text{я}}$ — радиус ядра (согласно (11), $\mathcal{E}_{св} \ll m_{N(\Lambda)} v^2$). Анализ показывает, что с учетом конечных размеров ядра определяющий вклад в сечение (10) дают переходы с энергией $\mathcal{E}_{no} \sim \mathcal{E}_{св}$. Для таких переходов вместо (11) можно написать

$$\frac{\mathcal{E}_{no}}{v} \ll \tilde{q} \ll \frac{1}{R_{\text{я}}}. \quad (12)$$

Хотя суммирование в (10) распространяется и на состояния с $\mathcal{E}_{no} \gg \mathcal{E}_{св}$, для которых неравенство $\mathcal{E}_{no} \ll v\tilde{q}$ может не выполняться, роль соответствующих членов относительно мала*.

Легко видеть, что при выполнении (12) экспоненциальные множители в формуле (5) для тока перехода можно положить равными единице. При этом ток перехода выражается непосредственно через матричный элемент дипольного момента:

* Аналогичная ситуация имеет место в случае неупругих столкновений заряженных частиц с атомами (см. ^{11/}, § 150).

$$\langle n | \vec{j} | 0 \rangle = -\frac{i}{m_p} \langle n | \sum_p \vec{\nabla}_p | 0 \rangle = -i \xi_{no} \langle n | \sum_p \vec{r}_p | 0 \rangle. \quad (13)$$

Заметим, далее, что в силу изотропности неполяризованного ядра выполняется равенство:

$$\overline{\langle n | \sum_p \vec{r}_p | 0 \rangle} \langle n | \sum_p \vec{r}_p | 0 \rangle^* = \frac{1}{3} \delta_{\alpha\beta} |\langle n | \sum_p \vec{r}_p | 0 \rangle|^2 \quad (14)$$

(тензор в левой части (14) инвариантен относительно поворотов в трехмерном пространстве). С учетом (13) и (14) имеем

$$\sigma^{(1)} = \frac{4\pi(Z\alpha)^2}{3v^2} \sum_{n \neq 0} \int_0^{\tilde{q}^2} \frac{|\langle n | \sum_p \vec{r}_p | 0 \rangle|^2 (q_{\perp}^2 + \frac{\xi_{no}^2}{v^2 \gamma^2})}{(q_{\perp}^2 + \frac{\xi_{no}^2}{v^2 \gamma^2})^2} d(q_{\perp}^2). \quad (15)$$

Проводя интегрирование и отбрасывая члены порядка $\xi_{no}^2 / (v\tilde{q})^2$ (их малость вытекает из условия (12)), находим

$$\sigma^{(1)} = \frac{4\pi(Z\alpha)^2}{3v^2} \sum_{n \neq 0} |\langle n | \sum_p \vec{r}_p | 0 \rangle|^2 \left[\ln \left(\frac{\tilde{q}^2 v^2 \gamma^2}{\xi_{no}^2} \right) - v^2 \right]. \quad (16)$$

В соответствии с правилом умножения матриц и с учетом равенства $\langle 0 | \sum_p \vec{r}_p | 0 \rangle = 0$, следующим из сохранения четности, мы можем написать

$$\sum_{n \neq 0} \overline{|\langle n | \sum_p \vec{r}_p | 0 \rangle|^2} = \langle 0 | \left(\sum_p \vec{r}_p \right)^2 | 0 \rangle. \quad (17)$$

Обозначим далее

$$\ln \xi = \left(\sum_{n \neq 0} |\langle n | \sum_p \vec{r}_p | 0 \rangle|^2 \ln \xi_{no} \right) / \langle 0 | \left(\sum_p \vec{r}_p \right)^2 | 0 \rangle. \quad (18)$$

Здесь ξ — характерная энергия, совпадающая по порядку величины с энергией связи $\xi_{св}$. Тогда сечение $\sigma^{(1)}$ приводится к виду

$$\sigma^{(1)} = \frac{4\pi(Z\alpha)^2}{3v^2} \langle 0 | \left(\sum_p \vec{r}_p \right)^2 | 0 \rangle \left[\ln \left(\frac{\tilde{q}^2 v^2 \gamma^2}{\xi^2} \right) - v^2 \right]. \quad (19)$$

Рассмотрим теперь вклад в (10) интегрирования по области

$$\tilde{q}^2 \leq q_{\perp}^2 \leq q_{\max}^2 \sim (m_{N(\Lambda)} v \gamma)^2. \quad (20)$$

Из (12) следует, что в этой области вектор $(\vec{q}_{\perp} - v \frac{\vec{\xi}_{no}}{v^2 \gamma^2})$, входящий в (10), практически совпадает с поперечным вектором \vec{q}_{\perp} , причем согласно (9)

$$\vec{q}_{\perp} \sim \vec{q}.$$

Поскольку

$$q_{\max} \sim m_{N(\Lambda)} v \gamma \gg \frac{1}{R_{\text{я}}} \sim \sqrt{m_{N(\Lambda)} \xi_{\text{св}}},$$

интегрирование в (10) можно распространить до бесконечности. С учетом (7) и (4) после отбрасывания членов порядка $\xi_{\text{но}}^2 / v^2 \gamma^2 \tilde{q}^2$ и $1/(q_{\max} R_{\text{я}})^2$ вклад области (20) в суммарное сечение кулоновского возбуждения и расщепления ядра описывается формулой

$$\sigma^{(2)} = \frac{4\pi(Z\alpha)^2}{v^2} \int_{\tilde{q}^2}^{\infty} \frac{G(q_{\perp}^2) d(q_{\perp}^2)}{q_{\perp}^4}, \quad (21)$$

где

$$G(q_{\perp}^2) = \sum_{n \neq 0} |\langle n | \sum_{\text{p}} e^{-i\vec{q}_{\perp} \cdot \vec{r}_{\text{p}}} | 0 \rangle|^2. \quad (22)$$

Правила умножения матриц вместе с условием полноты конечных состояний дают

$$G(q_{\perp}^2) = \langle 0 | | \sum_{\text{p}} e^{-i\vec{q}_{\perp} \cdot \vec{r}_{\text{p}}} |^2 | 0 \rangle - \langle 0 | \sum_{\text{r}} e^{-i\vec{q}_{\perp} \cdot \vec{r}_{\text{p}}} | 0 \rangle|^2. \quad (23)$$

Для ядер с одним протоном (дейтрон, тритий, ${}^3\text{H}$)

$$G(q^2) = 1 - \mathcal{F}^2(q^2), \quad (24)$$

где $\mathcal{F}(q^2)$ — электромагнитный формфактор ядра.

Легко видеть, что при $q^2 R_{\text{я}}^2 \ll 1$

$$G(q^2) \approx \frac{1}{3} q^2 \langle 0 | (\sum_{\text{p}} \vec{r}_{\text{p}})^2 | 0 \rangle, \quad (25)$$

в то время как при $q^2 R_\alpha^2 \gg 1$

$$G(q^2) \approx z, \quad (26)$$

где z — заряд налетающего ядра.

Введем безразмерную переменную

$$y = q^2 \langle 0 | (\sum_p \vec{r}_p)^2 | 0 \rangle \quad (27)$$

и обозначим $G(q^2) = \tilde{G}(y)$. Тогда

$$\sigma^{(2)} = \frac{4\pi(Z\alpha)^2}{v^2} \langle 0 | (\sum_p \vec{r}_p)^2 | 0 \rangle \int_{\tilde{y}}^{\infty} \frac{\tilde{G}(y)}{y^2} dy, \quad (28)$$

где

$$\tilde{y} = \tilde{q}^2 \langle 0 | (\sum_p \vec{r}_p)^2 | 0 \rangle. \quad (29)$$

Ввиду (12), (25) и (26) имеем

$$\tilde{G}(\tilde{y}) \approx \frac{1}{3} \tilde{y}, \quad \lim_{y \rightarrow \infty} \tilde{G}(y) = z. \quad (30)$$

Выполняя в (28) интегрирование по частям, находим с учетом соотношений (30):

$$\int_{\tilde{y}}^{\infty} \frac{\tilde{G}(y)}{y} dy = -\frac{1}{3} \ln \tilde{y} - \int_{\tilde{y}}^{\infty} \ln y \frac{d}{dy} \left(\frac{\tilde{G}(y)}{y} \right) dy. \quad (31)$$

Поскольку интеграл в (31) сходится при $y \rightarrow 0$, мы можем написать

$$\begin{aligned} \sigma^{(2)} \approx & \frac{4\pi(Z\alpha)^2}{v^2} \langle 0 | (\sum_p \vec{r}_p)^2 | 0 \rangle \times \\ & \times \left[-\frac{1}{3} \ln(\tilde{q}^2 \langle 0 | \sum_p \vec{r}_p^2 | 0 \rangle) - \int_0^{\infty} \ln y \frac{d}{dy} \left(\frac{\tilde{G}(y)}{y} \right) dy \right]. \end{aligned} \quad (32)$$

Складывая формулы (19) и (32), получаем окончательное выражение для эффективного сечения кулоновского возбуждения и расщепления ядра, из которого, естественно, выпадает промежуточное значение \tilde{q} :

$$\sigma = \frac{4\pi(Z\alpha)^2}{3v^2} \langle 0 | (\sum_p \vec{r}_p)^2 | 0 \rangle \left[\ln \left(\frac{\gamma^2 v^2}{\mathfrak{E}^2 \langle 0 | (\sum_p \vec{r}_p)^2 | 0 \rangle} \right) + B - v^2 \right], \quad (33)$$

где

$$B = -3 \int_0^\infty \ln y \frac{d}{dy} \left(\frac{\tilde{G}(y)}{y} \right) dy, \quad (34)$$

\mathfrak{E} определяется согласно (18).

4. Выше предполагалось, что ядро-мишень представляет собой точечный кулоновский центр. Такой подход оправдан при условии, что радиус налетающего ядра R_α гораздо больше радиуса ядра-мишени R_κ . Легко показать, что при учете конечных размеров ядра-мишени формула для суммарного сечения кулоновского возбуждения и расщепления ядра-снаряда сохраняет вид (33), но параметр B описывается более сложным по сравнению с (34) выражением:

$$B = -3 \int_0^\infty \ln y \frac{d}{dy} (\tilde{G}(y) \tilde{H}(y) / y) dy. \quad (34')$$

Здесь переменная y по-прежнему определяется согласно (29), $\tilde{G}(y)$ имеет тот же смысл, что в формулах (28) - (32), а функция $\tilde{H}(y) = H(q_\perp^2)$, где

$$H(q_\perp^2) = \langle 0' | \sum_p e^{-iq_\perp \cdot \vec{r}_p} | 0' \rangle / Z^2; \quad (35)$$

$|0'\rangle$ означает основное состояние ядра-мишени, суммирование проводится по протонам ядра-мишени.

Мы видим, что эффективное сечение σ пропорционально величине $\langle 0 | (\sum_p \vec{r}_p)^2 | 0 \rangle$, характеризующей распределение протонов в налетающем ядре. Интересно, что в ультрарелятивистском пределе энергетическая зависимость σ имеет простую структуру

$$\sigma = a \ln y + b, \quad (36)$$

где a и b — константы рассматриваемого ядра.

Заметим, что при оценке суммарного сечения кулоновского возбуждения и расщепления быстрого ядра в логарифмическом приближении можно воспользоваться формулой (19), положив $\tilde{q} \approx 1/R_{\text{я}}$, если $R_{\text{я}} \geq R_{\text{к}}$, и $\tilde{q} \approx 1/R_{\text{к}}$, если $R_{\text{к}} \geq R_{\text{я}}$. Учитывая, что согласно (18) величина $\xi \sim \xi_{\text{св}}$, где $\xi_{\text{св}}$ — энергия связи, мы можем написать

$$\sigma = \frac{4\pi (Z\alpha)^2}{3 v^2} \langle 0 | (\sum_p \vec{r}_p)^2 | 0 \rangle \left[\ln \left(\frac{v^2 y^2 \delta}{\xi_{\text{св}} R^2} \right) - v^2 \right]. \quad (37)$$

Здесь $\delta \sim 1$,

$$R = \begin{cases} R_{\text{я}}, & R_{\text{я}} \geq R_{\text{к}}, \\ R_{\text{к}}, & R_{\text{к}} > R_{\text{я}}. \end{cases}$$

При выходе за рамки логарифмического приближения необходим численный расчет входящих в формулу (33) параметров ξ и V .

5. Применим соотношения (33)-(34) и (18) к релятивистским ядрам с малыми энергиями связи и большими размерами. Рассмотрим сначала простой случай расщепления релятивистского дейтрона в поле кулоновского центра. Используя хорошо известное приближенное выражение для внутренней волновой функции дейтрона

$$\phi_d(r) = \frac{1}{\sqrt{2\pi\rho}} e^{-r/\rho} / r \quad (38)$$

(здесь r — расстояние между протоном и нейтроном, $\rho = \frac{1}{\sqrt{m\xi_d}}$, m — масса нуклона, ξ_d — энергия связи: см^{11/}, §133), находим

$$\langle 0 | \vec{r}_p^2 | 0 \rangle = \frac{1}{4} \langle 0 | r^2 | 0 \rangle = \frac{1}{2\rho} \int_0^\infty e^{-2r/\rho} r^2 dr = \frac{1}{8\xi_d m}. \quad (39)$$

Для дейтронов все конечные состояния $|n\rangle$ относятся к непрерывному спектру. Если $|n\rangle$ есть состояние относительного движения протона и нейтрона с импульсом p и энергией p^2/m , то с учетом (38) легко получить

$$\langle n | \vec{r}_p | 0 \rangle = \frac{1}{2} \frac{1}{\sqrt{2\pi\rho}} \int \frac{e^{-r/\rho}}{r} e^{-i\vec{p}\vec{r}} \vec{r} d^3\vec{r} = \frac{1(8\pi)^{1/2} (m\epsilon_d)^{1/4} \vec{p}}{(p^2 + m\epsilon_d)^2}. \quad (40)$$

Отсюда

$$\begin{aligned} \sum_{n \neq 0} \overline{|\langle n | \vec{r}_p | 0 \rangle|^2} &= \frac{1}{4} \langle 0 | \vec{r}^2 | 0 \rangle = \\ &= 8\pi \sqrt{m\epsilon_d} \int \frac{p^2}{(p^2 + m\epsilon_d)^4} \frac{d^3\vec{p}}{(2\pi)^3} = \frac{2}{\pi m\epsilon_d} \int_0^\infty \frac{x^{3/2} dx}{(1+x)^4} = \frac{1}{8\epsilon_d m} \end{aligned}$$

в полном соответствии с (39).

Следуя (18), вычислим теперь величину

$$A = \ln\left(\frac{\epsilon}{\epsilon_d}\right) = \left(\sum_{n \neq 0} \overline{|\langle n | \vec{r}_p | 0 \rangle|^2} \ln\left(\frac{\epsilon_{no}}{\epsilon_d}\right) \right) / \langle 0 | \vec{r}^2 | 0 \rangle. \quad (41)$$

Учитывая, что $\epsilon_{no} = \epsilon_d + \frac{p^2}{m}$, получаем (см. также /1,2/):

$$\sum_{n \neq 0} \overline{|\langle n | \vec{r}_p | 0 \rangle|^2} \ln\left(\frac{\epsilon_{no}}{\epsilon_d}\right) = \frac{2}{\pi} \cdot \frac{1}{m\epsilon_d} \int_0^\infty \frac{x^{3/2}}{(1+x)^4} \ln(1+x) dx, \quad (42)$$

$$A = \frac{16}{\pi} \int_0^\infty \frac{x^{3/2}}{(1+x)} \ln(1+x) dx \approx 1,218.$$

Найдем теперь величину В. Формфактор дейтрона

$$\begin{aligned} \mathcal{F}(q^2) &= \int (\phi_d(r))^2 e^{-i\frac{qr}{2}} d^3\vec{r} = \frac{4}{q\rho} \int_0^\infty e^{-\frac{2r}{\rho}} \frac{\sin(\frac{qr}{2})}{r} dr = \\ &= \frac{4\sqrt{m\epsilon_d}}{q} \operatorname{arctg}\left(\frac{q}{4\sqrt{m\epsilon_d}}\right). \end{aligned} \quad (43)^*$$

*Мы здесь воспользовались равенством /12/: $\int_0^\infty e^{-ax} \frac{\sin bx}{x} dx = \operatorname{arctg} \frac{b}{a}$.

Согласно (24), (27) и (39) в рассматриваемом случае

$$\tilde{G}(y) = 1 - \frac{2}{y} (\operatorname{arctg} \sqrt{\frac{y}{2}})^2, \quad (44)$$

где $y = q^2/8m\xi_d$. Подставляя (44) в (34), получаем

$$B = -3 \int_0^{\infty} \ln y \frac{d}{dy} \left[\frac{1 - \frac{2}{y} (\operatorname{arctg} \sqrt{\frac{y}{2}})^2}{y} \right] dy; \quad (45)$$

$$B = -\frac{3}{2} \int_0^{\infty} \ln(2u^2) \frac{d}{du} \left[\frac{1 - \frac{1}{u^2} (\operatorname{arctg} u)^2}{u^2} \right] du = \ln 2 + C, \quad (46)$$

где

$$C = 6 \int_0^{\infty} \ln u \left\{ \frac{1}{u^3} + \frac{\operatorname{arctg} u}{u^4(1+u)^2} - \frac{2}{u^5} (\operatorname{arctg} u)^2 \right\} du \approx 0,316. \quad (47)$$

С учетом (39), (41)-(42) и (46)-(47) формула (33) приводит к следующему выражению для сечения кулоновской диссоциации:

$$\sigma_d = \frac{\pi}{6} (Z\alpha)^2 \frac{1}{m\xi_d v^2} \left[\ln \left(\frac{16\gamma^2 v^2 m}{\xi_d} \right) - (2A - C) - v^2 \right], \quad (48)$$

где $2A - C = 2,12$. При ультрарелятивистских энергиях ($\gamma \gg 1$, $v \approx 1$)

$$\sigma_d = \frac{\pi}{6} (Z\alpha)^2 \frac{1}{m\xi_d v^2} \left[\ln \left(\frac{16\gamma^2 m}{\xi_d} \right) - 3,12 \right], \quad (49)$$

или, с учетом значений $\alpha = 1/137$, $m = 939 \text{ МэВ}/c^2$, $\xi_d = 2,23 \text{ МэВ}$,

$$\sigma_d = 1,033 \cdot 10^{-2} \cdot Z^2 (\ln \gamma + 2,84) \text{ мб}. \quad (50)$$

Подчеркнем, что результаты (47)-(49) соответствуют приближению "точечного" кулоновского центра, т.е. условию $R_d \gg R_k$, которое может быть выполнено только в случае мишеней с легкими ядрами (средне-квадратичный радиус дейтрона $R_d = (\langle 0 | r^2 | 0 \rangle)^{1/2} = \frac{\rho}{\sqrt{2}} \approx 3$ фм). Если $R_k > R_d$, то, как следует из (37), с логарифмической точностью

$$\sigma_d = \frac{\pi}{3} (Z\alpha)^2 \frac{1}{m \xi_d v^2} \left[\ln \left(\frac{\gamma v \delta}{\xi_d R_k} \right) - \frac{v^2}{2} \right]. \quad (51)^*$$

Сравнение (48) и (51) показывает, что при ультрарелятивистских энергиях независимо от соотношения между радиусами дейтрона и ядра-мишени коэффициент при $\ln \gamma$ в формуле (36)

$$a_d = \frac{d\sigma_d}{d(\ln \gamma)} = \frac{\pi}{3} (Z\alpha)^2 \frac{1}{m \xi_d} = 10^{-2} Z^2 \text{ мб}. \quad (52)$$

6. Перейдем теперь к кулоновскому расщеплению гиперядра ${}^3_{\Lambda}\text{H}$. Данное гиперядро можно рассматривать как связанное состояние дейтрона и Λ -частицы. Известно, что энергия связи Λ -частицы в гиперядре ${}^3_{\Lambda}\text{H}$ мала по сравнению с энергией связи нуклонов в дейтроне ($\xi_{\Lambda} < 0,1$ МэВ^{7/7}). В соответствии с этим радиус гиперядра ${}^3_{\Lambda}\text{H}$ должен быть существенно больше радиуса дейтрона:

$$\left(R_{{}^3_{\Lambda}\text{H}} / R_d \right)^2 \sim \frac{\xi_d}{\xi_{\Lambda}} > 22, \quad R_{{}^3_{\Lambda}\text{H}} > 14 \text{ фм}.$$

С учетом очень больших размеров гиперядра ${}^3_{\Lambda}\text{H}$ формулы (33)-(34), выведенные при условии $R_n \gg R_k$, можно использовать для расчета сечения кулоновской диссоциации ${}^3_{\Lambda}\text{H}$ практически на любых ядерных мишенях, как с малыми, так и с большими Z .

Внутренняя волновая функция гиперядра ${}^3_{\Lambda}\text{H}$ имеет структуру

$$\psi_{{}^3_{\Lambda}\text{H}} = \phi_d(r_{pn}) \phi(r_{d\Lambda}),$$

* Для нерелятивистских дейтронов формула (51) согласуется с результатами расчетов в^{1,2/}.

где $\phi_d(r_{pn})$ — волновая функция дейтрона (38), $\phi_d(r_{d\Lambda})$ — волновая функция относительного движения Λ -частицы и дейтрона, имеющая аналогичный вид:

$$\phi(r_{\Lambda d}) = \frac{1}{\sqrt{2\pi\tilde{\rho}}} \frac{e^{-r_{d\Lambda}/\tilde{\rho}}}{r_{d\Lambda}}. \quad (53)$$

Здесь $r_{d\Lambda}$ — расстояние между Λ -частицей и центром масс дейтрона,

$$\tilde{\rho} = \frac{1}{\sqrt{2M\mathcal{E}_\Lambda}}, \quad M = \frac{m_d m_\Lambda}{m_d + m_\Lambda}, \quad (54)$$

где M — приведенная масса дейтрона и Λ -частицы, m_Λ и m_d — массы дейтрона и Λ -частицы соответственно ($m_d = 2m$). Координата протона по отношению к центру масс гиперядра выражается через относительные координаты r_{pn} и $r_{d\Lambda}$ с помощью формулы

$$\vec{r}_p = \frac{m_\Lambda}{m_\Lambda + m_d} \vec{r}_{d\Lambda} + \frac{1}{2} \vec{r}_{pn}. \quad (55)$$

С учетом (53), (38) и (55) находим матричный элемент $\langle 0 | \vec{r}_p^2 | 0 \rangle$, определяющий сечение кулоновского расщепления гиперядра ${}^3_\Lambda\text{H}$:

$$\begin{aligned} \langle 0 | \vec{r}_p^2 | 0 \rangle &= \left(\frac{m_\Lambda}{m_\Lambda + m_d} \right)^2 \frac{\tilde{\rho}^2}{2} + \frac{1}{4} \rho^2 = \\ &= \frac{m_\Lambda}{4m_d(m_\Lambda + m_d) \mathcal{E}_\Lambda} + \frac{1}{8m \mathcal{E}_d}. \end{aligned} \quad (56)$$

Согласно (33) и (37) при ультрарелятивистских энергиях гиперядра ${}^3_\Lambda\text{H}$ коэффициент при $\ln \gamma$ в формуле (36)

$$a_\Lambda = \frac{d\sigma_\Lambda}{d(\ln \gamma)} = \frac{\pi(Z\alpha)^2}{3m} \left[\frac{m_\Lambda}{(2m + m_\Lambda) \mathcal{E}_\Lambda} + \frac{1}{\mathcal{E}_d} \right], \quad (57)$$

где m — масса нуклона ($m_d \approx 2m$).

Подчеркнем, что, как в случае дейтрона (см. (52)), результат (57) выходит за рамки приближения "точечного" кулоновского центра $R_{\Lambda^3\text{H}} \gg R_k$. Ясно, что матричные элементы оператора относительной координаты $\vec{r}_{d\Lambda}$ описывают кулоновскую диссоциацию ${}^3\Lambda\text{H}$ с развалом на дейтрон и Λ -частицу, в то время как матричные элементы оператора \vec{r}_{pn} — кулоновскую диссоциацию ${}^3\Lambda\text{H}$ по каналу $pn\Lambda$. Процессу ${}^3\Lambda\text{H} + Z \rightarrow d + \Lambda + Z$ отвечает первый член, а процессу ${}^3\Lambda\text{H} + Z \rightarrow pn\Lambda + Z$ — второй член в формуле (57). Так как $\mathcal{E}_\Lambda \ll \mathcal{E}_d$, основной вклад в кулоновское расщепление гиперядра ${}^3\Lambda\text{H}$ дает развал на дейтрон и Λ -частицу:

$$\frac{\sigma(d\Lambda)}{\sigma(pn\Lambda)} \sim \frac{\mathcal{E}_d}{\mathcal{E}_\Lambda} \gg 1.$$

При этом сечение кулоновской диссоциации с полным развалом гиперядра совпадает по порядку величины с сечением кулоновской диссоциации дейтрона:

$$\sigma(pn\Lambda) \approx \sigma_d.$$

Найдем на основе соотношений (33)-(34) явное выражение для сечения $\sigma(d\Lambda)$. Отбрасывая второй член в (55) и проводя с учетом (53) вычисления, аналогичные расчетам для дейтрона, мы получим

$$\langle n | \vec{r}_p | 0 \rangle = \sqrt{32\pi} (2M\mathcal{E}_\Lambda)^{1/4} \frac{m_\Lambda}{m_\Lambda + m_d} i \frac{\vec{p}}{(p^2 + 2M\mathcal{E}_\Lambda)^2}, \quad (57)$$

$$\langle 0 | \vec{r}_p^2 | 0 \rangle = \sum_n |\langle n | \vec{r}_p | 0 \rangle|^2 = \frac{m_\Lambda}{4m_d(2m + m_\Lambda)\mathcal{E}_\Lambda}. \quad (58)$$

Как и следовало ожидать, правая часть (58) совпадает с первым членом в формуле (56).

Энергия возбуждения в рассматриваемом случае

$$\mathcal{E}_{no} = \mathcal{E}_\Lambda + \frac{p^2}{2m_d} + \frac{p^2}{2m_\Lambda} = \mathcal{E}_\Lambda + \frac{p^2}{2M}, \quad (59)$$

где M — приведенная масса. В соответствии с определением (18) имеем

$$\ln \bar{\epsilon} = \ln \bar{\epsilon}_{\Lambda} + \left(\sum_n |\langle n | \vec{r}_p | 0 \rangle|^2 \ln \left(\frac{\bar{\epsilon}_{no}}{\bar{\epsilon}_{\Lambda}} \right) \right) / \langle 0 | \vec{r}_p^2 | 0 \rangle.$$

Легко показать, что

$$\sum_n |\langle n | \vec{r}_p | 0 \rangle|^2 \ln \left(\frac{\bar{\epsilon}_{no}}{\bar{\epsilon}_{\Lambda}} \right) = \frac{4m_{\Lambda}}{m_d(m_d + m_{\Lambda})\bar{\epsilon}_{\Lambda}} \left(\frac{1}{\pi} \int_0^{\infty} \frac{x^{3/2} \ln(1+x)}{(1+x)^4} dx \right).$$

Таким образом,

$$\ln \bar{\epsilon} = \ln \bar{\epsilon}_{\Lambda} + A, \quad (60)$$

где A определяется по формуле (42); $A = 1,218$.

Убедимся теперь в том, что величина B , входящая в формулу (33), такая же, как и в случае дейтрона. Действительно, формфактор

$$\begin{aligned} \mathcal{F}(q^2) &= \int (\phi(\vec{r}_{\Lambda d}))^2 e^{-i\vec{q}\vec{r}_p} d^3\vec{r}_{\Lambda d} = \\ &= \frac{1}{2\pi\tilde{\rho}} \int \frac{1}{r^2} \exp\left(-\frac{2r}{\tilde{\rho}} - i\vec{q}\vec{r} \frac{m_{\Lambda}}{m_{\Lambda} + m_d}\right) d^3\vec{r} = \frac{2(m_{\Lambda} + m_d)}{qm_{\Lambda}\tilde{\rho}} \operatorname{arctg}\left(\frac{qm_{\Lambda}\tilde{\rho}}{2(m_{\Lambda} + m_d)}\right), \end{aligned}$$

где $\tilde{\rho}$ определяется согласно (54). По определению (27) переменная

$$y = \frac{1}{2} q^2 \tilde{\rho}^2 \left(\frac{m_{\Lambda}}{m_{\Lambda} + m_d} \right)^2 = \frac{q^2 m_{\Lambda}}{4m_d(m_d + m_{\Lambda})\bar{\epsilon}_{\Lambda}}. \quad (62)$$

Отсюда следует, что функция $\tilde{G}(y) = 1 - \mathcal{F}^2(q^2)$ определяется по формуле (44), и, следовательно, в соответствии с (46) - (47),

$$B = \ln 2 + 0,318. \quad (63)$$

Подставляя в (33) значения (58), (60) и (63), приходим к результату

$$\sigma(\Lambda^3 \text{H} \rightarrow d\Lambda) = \frac{\pi(Z\alpha)^2}{6v^2 m \bar{\epsilon}_{\Lambda}} \left(\frac{m_{\Lambda}}{2m + m_{\Lambda}} \right) \left[\ln \left(\frac{16\gamma^2 v^2 (m_{\Lambda} + 2m)m}{\bar{\epsilon}_{\Lambda} m_{\Lambda}} \right) - 2,12 - v^2 \right]. \quad (64)$$

С учетом численных значений $\alpha = 1/137$, $m = 939 \text{ МэВ}/c^2$, $m_{\Lambda} = 1115 \text{ МэВ}/c^2$, $\bar{\epsilon}_d = 2,23 \text{ МэВ}$

$$\sigma({}_\Lambda^3\text{H} \rightarrow d\Lambda) = 3,85 \cdot 10^{-3} Z^2 \frac{\mathcal{E}_d}{\mathcal{E}_\Lambda} \left[\frac{\ln(\gamma v \sqrt{\mathcal{E}_d/\mathcal{E}_\Lambda}) + 3,83}{v^2} - \frac{1}{2} \right] \text{ мб}, \quad (65)$$

где v — скорость гиперядра ($v^2 \gg \frac{\mathcal{E}_\Lambda}{m}$), $\gamma = (1 - v^2)^{-1/2}$. В ультрарелятивистском пределе

$$\sigma({}_\Lambda^3\text{H} \rightarrow d\Lambda) = 3,85 \cdot 10^{-3} \frac{\mathcal{E}_d}{\mathcal{E}_\Lambda} \left(\ln \gamma + \frac{1}{2} \ln \left(\frac{\mathcal{E}_d}{\mathcal{E}_\Lambda} \right) + 3,33 \right) \text{ мб}. \quad (66)$$

Подчеркнем, что сечение кулоновской диссоциации гиперядра ${}_\Lambda^3\text{H}$ существенно зависит от энергии связи \mathcal{E}_Λ . В настоящее время точное значение \mathcal{E}_Λ неизвестно, имеются лишь оценки верхней границы [7]. В частности, если $\mathcal{E}_d/\mathcal{E}_\Lambda = 25$, $\gamma = 5$, $Z = 50$, то сечение $\sigma({}_\Lambda^3\text{H} \rightarrow d\Lambda) = 1,35$ б. В принципе исследование процесса расщепления гиперядра ${}_\Lambda^3\text{H}$ в кулоновском поле может быть использовано для экспериментального определения энергии связи Λ -частицы в гиперядре.

Автор выражает глубокую благодарность С.А.Хорозову, по инициативе которого была выполнена настоящая работа, и М.И.Подгорецкому за полезные обсуждения, а также С.А.Седых за помощь в расчетах.

ЛИТЕРАТУРА

1. Ахиезер А.И., Померанчук И.Я. *Некоторые вопросы теории ядра*. М.-Л.: ГИТТЛ, 1950, §13.
2. Mullin C.J., Guth E. — *Phys. Rev.*, 1957, v.82, p.141.
3. Колесников Н.Н., Ведринский Р.В. — *ЖЭТФ*, 1964, т.47, с.1740.
4. Кантарь Л.П., Титов А.И. — *Ядерная физика*, 1978, т.28, с.647.
5. Butler S.T., Pirson C.A. — *Nuovo Cimento*, 1961, v.19, p.1266.
6. Jägle R., Pilkuhn H. — *Nucl. Phys.*, 1975, v.A247, p.571.
7. Bohm G., Wysotzki F. — *Nucl. Phys.*, 1970, v.B15, p.628.
8. Авраменко С.А. и др. — *Письма в ЖЭТФ*, 1988, т.48, с.474.
9. Ахиезер А.И., Берестецкий В.Б. — *Квантовая электродинамика*. М.: Наука, 1969, §33.
10. Берестецкий В.Б., Лифшиц Е.М., Питаевский Л.П. — *Квантовая электродинамика*. М.: Наука, 1980, 82.
11. Ландау Л.Д., Лифшиц Е.М. — *Квантовая механика*. М.: Наука, 1974.
12. Градштейн И.А., Рыжик И.М. — *Таблицы интегралов, сумм, рядов и произведений*. М.: ГИФМЛ, 1963, с.503.

Рукопись поступила в издательский отдел
10 июля 1989 года.